

# Curve25519 양자회로 구현

<https://youtu.be/pLhslhe6mxo>

정보컴퓨터공학과 송경주

# Curve25519

- Daniel J. Bernstein이 제안한 타원곡선
- ECC에서 사용되며 128비트의 보안(256비트 키 크기) 제공
- Curve 기반으로 설계된 키교환 알고리즘: X25519
- X25519: ECDH 에서 사용될 수 있음
- 곡선:  $y^2 = x^3 + 488662x^2 + x$
- Prime field :  $2^{255} - 19$

---

**Algorithm 1** Curve25519 algorithm

---

- 1: **Function Curve25519**
- 2: PointXZMulSecure(&P1, &P2, k, P)
- 3: RecoverY(&P1, &P1, &P2, &P2, P, b)
- 4: ProToAff(R, &P1)

# Curve25519

- PointAdd: Point addition
- PointDbl: Point Doubling
- 주요 연산들이 덧셈, 뺄셈, 곱셈, 제곱으로 이루어짐

5: **Function PointXZMulSecure**

6: **Input:** Scalar  $k$ , Point  $P$ ,  $R1$ ,  $R2$

7:  $x_p \leftarrow P.x$

8: Initialize points  $T[0]$ ,  $T[1]$

9:  $T[0].x, T[0].y, T[0].z[0] \leftarrow x_p, 0, 1$

10:  $T[1] \leftarrow \text{PointDbl}(T[0])$

11: **for** ( $i = 253$  **to**  $-1$ ) :

12:    $ki \leftarrow \text{get\_bit}(k, i)$

13:    $T[1-ki] \leftarrow \text{PointAdd}(T[1-ki], T[ki], x_p)$

14:    $T[1-ki] \leftarrow \text{PointAdd}(T[1-ki], T[ki], x_p)$

15:    $T[ki] \leftarrow \text{PointDbl}(T[ki])$

16:  $R1 \leftarrow T[0]$

17:  $R2 \leftarrow T[1]$

38: **Function ProToAff**

39:  $x_p, y_p, z_p \leftarrow P.x, P.y, P.z$

40:  $x_r, y_r, z_r \leftarrow R.x, R.y, R.z$

41:  $t1 \leftarrow 1/z_p$

42:  $y_r \leftarrow y_p \times t1$

43:  $x_r \leftarrow x_p \times t1$

18: **Function RecoverY**

19: **Input:** Points  $P1$ ,  $P2$  (in projective coordinates), Point  $P$  (in affine coordinates),  
Scalar  $b$

20:  $x1, z1, x2, z2, x, y \leftarrow P1.x, P1.z, P2.x, P2.z, P.x, P.y$

21:  $x_r, y_r, z_r \leftarrow R.x, R.y, R.z$

22:  $t1 \leftarrow x \times x1$

23:  $t1 \leftarrow t1 - z1$

24:  $t2 \leftarrow z1 \times x$

25:  $t2 \leftarrow x1 - t2$

26:  $t3 \leftarrow z2 \times t1$

27:  $t4 \leftarrow x2 \times t2$

28:  $t2 \leftarrow 4 \times b$

29:  $t2 \leftarrow t2 \times y$

30:  $t2 \leftarrow t2 \times z2$

31:  $t2 \leftarrow t2 \times x2$

32:  $t2 \leftarrow t2 \times z1$

33:  $z_r \leftarrow t2 \times z1$

34:  $x_r \leftarrow t2 \times x1$

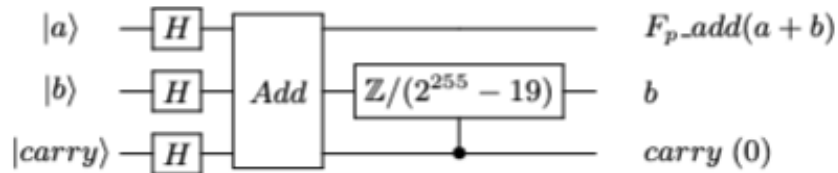
35:  $t2 \leftarrow t3 + t4$

36:  $t3 \leftarrow t3 - t4$

37:  $y_r \leftarrow t2 \times t3$

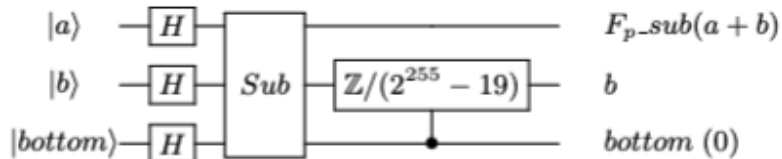
# Curve25519 기본연산 양자회로 구현

- 해당 prime field 양자회로 구현은  $\mathbb{Z}/(2^{255} - 19)$  외에도 양자회로에서 단순 상수 변경으로 다양한 prime field 상에서 범용적으로 사용가능



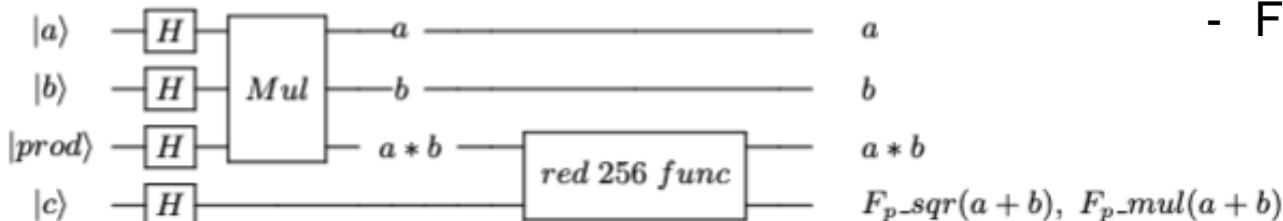
(a)  $F_p\_add$

- (a)  $F_p\_add$ : in-place 연산
- $F_p\_add(a, b) \rightarrow a, F_p\_add(a+b)$



(b)  $F_p\_sub$

- (b)  $F_p\_sub$ : in-place 연산
- $F_p\_sub(a, b) \rightarrow a, F_p\_sub(a-b)$



(c)  $F_p\_sqr, F_p\_mul$

- (c)  $F_p\_sqr, mul$ : out-of-place 연산 (동일)
- $F_p\_sqr(a, a, prod) \rightarrow a, a, F_p\_sqr(a^2)$
  - $F_p\_mul(a, b, prod) \rightarrow a, b, F_p\_sqr(a*b)$

# Curve25519 양자회로 구현

- PointAdd function 양자회로 최적화 구현
- 알고리즘 순서를 재배치하여 기존 알고리즘에서 사용한  $t_1, t_2$  사용을 생략할 수 있음
- 따라서 매 라운드 및 반복문에서  $t_1, t_2$  큐비트 생략가능
  - Hard work: Sequential한 algorithm을 양자회로에 적합하게 재배치해야 함  
+  $t_1, t_2$  생략이 필요한 큐비트 값을 변형시키면 안됨

**Algorithm 3** The operation sequence of the original PointAdd function

**Input:**  $t_{1,2}$

1:  $t_1 = xp + zp$   
2: ♣<sub>1</sub>  $t_2 = xp - zp$   
3:  $xr = xq - zq$   
4:  $zr = t_1 \times xr$   
5:  $t_1 = xq + zq$   
6:  $xr = t_1 \times t_2$   
7: ♣<sub>2</sub>  $t_1 = xr - zr$   
8:  $t_2 = xr + zr$   
9:  $xr = t_2 \times t_2$   
10:  $t_2 = t_1 \times t_1$   
11:  $zr = xd \times t_2$

Original PointAdd function

**Algorithm 4** The operation sequence of the modified PointAdd function

**Input:**  $t_{1,2}$

1:  $t_1 = xp + zp$   
2:  $xr = xq - zq$   
3:  $zr = t_1 \times xr$   
4:  $t_1 = xq + zq$   
5: ♣<sub>1</sub>  $t_2 = xp - zp$   
6:  $xr = t_1 \times t_2$   
7:  $t_2 = xr + zr$   
8:  $xr = t_2 \times t_2$   
9: ♣<sub>2</sub>  $t_1 = xr - zr$   
10:  $t_2 = t_1 \times t_1$   
11:  $zr = xd \times t_2$

Modified PointAdd function

# Curve25519 양자회로 구현

- 알고리즘 순서를 변환하여  $t_1, t_2$  사용 생략
- 연산 대상이 되는 큐비트들에 대해 target qubit 및 control qubit을 적절히 설정 → 마지막 Inverse operation 수와 연결됨
- line 10, line 11 의 순서를 통합하여 out-of-place 연산에 필요한 큐비트를 줄임(Purple text)
- 즉, line 10, 11을 통합하면  $zr = xd * t_1 * t_1$  연산이 되므로  $z = t_1 * xd$ 를 먼저 계산한 후,  $zr = zr * t_1$ 을 계산함
  - 기존: (1)  $xr\_sqr\_temp = xr * xr\_temp$  (2)  $zr\_temp = xr\_temp * xd$  :: ( $xr\_sqr\_temp, xr\_temp, xr\_temp$  필요)
  - 통합: (1)  $zr\_temp = xr * xd$  (2)  $zr\_temp = xr(xr, zr)$  :: ( $xr\_temp$  필요)
- line 12, 13:  $t_1, t_2$  대신 사용된 큐비트의 필요한 원래 값으로 돌리는 Inverse 연산 수행

---

**Algorithm 5** Modified PointAdd function  $\Rightarrow$  quantum circuit

---

1: $t_1 = xp + zp$	$\Rightarrow$	$xp \leftarrow F_p.add(xp, zp)$
2: $xr = xq - zq$	$\Rightarrow$	$xq \leftarrow F_p.sub(zq, xq)$
3: $zr = t_1 \times xr$	$\Rightarrow$	$zr_{anc1} \leftarrow F_p.mul(xq, xp)$
4: $t_1 = xq + zq$	$\Rightarrow$	$xq \leftarrow F_p.add(zp, xq)$
5: ♣ <sub>1</sub> $t_2 = xp - zp$	$\Rightarrow$	$xp \leftarrow F_p.sub(zp, xp) \quad F_p.sub(zp, xp)$
6: $xr = t_1 \times t_2$	$\Rightarrow$	$xr_{anc2} \leftarrow F_p.sqr(xr_{anc1}, xr_{anc2})$
7: $t_2 = xr + zr$	$\Rightarrow$	$xr_{anc1} \leftarrow F_p.add(zr_{anc1}, xr_{anc1})$
8: $xr = t_2 \times t_2$	$\Rightarrow$	$xr_{anc2} \leftarrow F_p.sqr(xr_{anc1}, xr_{anc2})$
9: ♣ <sub>2</sub> $t_1 = xr - zr$	$\Rightarrow$	$xr_{anc1} \leftarrow F_p.sub(zr_{anc}, xr_{anc1}) \quad F_p.sub(zr_{anc}, xr_{anc1})$
10: $t_2 = t_1 \times t_1$	$\Rightarrow$	Combine lines 10 and 11:
11: $zr = xd \times t_2$		$zr_{temp} \leftarrow F_p.mul(xr_{anc1}, xd),$ $zr_{anc2} \leftarrow F_p.mul(xr_{anc1}, zr_{temp})$
// Inverse operations		
12: $xq \leftarrow fp.add(zq, xq)$		
13: $xp \leftarrow fp.add(zp, xp)$		

---

# Curve25519 양자회로 구현

- line 1에서  $x_p$ 에  $x_p + z_p$  결과를 저장하면 line 5에서  $x_p - z_p$  값을 얻기 위해 단순히  $fp\_sub(z_p, x_p)$ 을 두 번 사용하면 됨
- line 6: out-of-place 연산으로 진행되므로 결과를 clean 상태의  $x_{r\_anc2}$ 에 저장
- line 7:  $z_r$ 과  $x_r$ 의 결과를 담은 ancilla qubits  $z_{r\_anc1}$ ,  $x_{r\_anc1}$ 에 대한 뺄셈 결과 ( $x_{r\_anc1} - z_{r\_anc1}$ )를  $x_{r\_anc1}$ 에 저장

\*기존 알고리즘의 line7을 line 9로 이동하여 line 8에서 사용한  $x_{r\_anc1}$ 을 line 9에서 재사용하도록 구성

**Algorithm 5** Modified PointAdd function  $\Rightarrow$  quantum circuit

```

1:  $t_1 = x_p + z_p \Rightarrow x_p \leftarrow F_p\_add(x_p, z_p)$ 
2:  $x_r = x_q - z_q \Rightarrow x_q \leftarrow F_p\_sub(z_q, x_q)$ 
3:  $z_r = t_1 \times x_r \Rightarrow z_{r\_anc1} \leftarrow F_p\_mul(x_q, x_p)$ 
4:  $t_1 = x_q + z_q \Rightarrow x_q \leftarrow F_p\_add(z_p, x_q)$ 
5:  $\clubsuit_1 t_2 = x_p - z_p \Rightarrow x_p \leftarrow F_p\_sub(z_p, x_p) \ F_p\_sub(z_p, x_p)$ 
6:  $x_r = t_1 \times t_2 \Rightarrow x_{r\_anc2} \leftarrow F_p\_sqr(x_{r\_anc1}, x_{r\_anc2})$ 
7:  $t_2 = x_r + z_r \Rightarrow x_{r\_anc1} \leftarrow F_p\_add(z_{r\_anc1}, x_{r\_anc1})$ 
8:  $x_r = t_2 \times t_2 \Rightarrow x_{r\_anc2} \leftarrow F_p\_sqr(x_{r\_anc1}, x_{r\_anc2})$ 
9:  $\clubsuit_2 t_1 = x_r - z_r \Rightarrow x_{r\_anc1} \leftarrow F_p\_sub(z_{r\_anc1}, x_{r\_anc1}) \ F_p\_sub(z_{r\_anc1}, x_{r\_anc1})$ 

10:  $t_2 = t_1 \times t_1 \Rightarrow$  Combine lines 10 and 11:
11:  $z_r = x_d \times t_2 \Rightarrow z_{r\_temp} \leftarrow F_p\_mul(x_{r\_anc1}, x_d),$ 
 $z_{r\_anc2} \leftarrow F_p\_mul(x_{r\_anc1}, z_{r\_temp})$ 

// Inverse operations
12:  $x_q \leftarrow fp\_add(z_q, x_q)$ 
13:  $x_p \leftarrow fp\_add(z_p, x_p)$ 

```

Table 1: Qubit state for Algorithm 5 (Each operation represents a prime field operation)

Line	Qubit State					
	$x_{r\_anc1}$	$x_{r\_anc2}$	$z_{r\_anc1}$	$z_{r\_anc2}$	$x_p$	$x_q$
1	-	-	-	-	$x_p + z_p$	$x_q$
2	-	-	-	-	$x_p + z_p$	$x_q - z_q$
3	-	-	$x_q * x_p$	-	$x_p + z_p$	$x_q - z_q$
4	-	-	$x_q * x_p$	-	$x_p + z_p$	$x_q + z_q$
5	-	-	$x_q * x_p$	-	$x_p - z_p$	$x_q + z_q$
6	$x_q * x_p$	-	$x_q * x_p$	-	$x_p - z_p$	$x_q + z_q$
7	$x_{r\_anc1} + z_r$	-	$x_q * x_p$	-	$x_p - z_p$	$x_q + z_q$
8	$x_{r\_anc1} + z_r$	$(x_{r\_anc1})^2$	$x_q * x_p$	-	$x_p - z_p$	$x_q + z_q$
9	$x_{r\_anc1} - z_r$	$(x_{r\_anc1})^2$	$x_q * x_p$	-	$x_p - z_p$	$x_q + z_q$
10	$x_{r\_anc1} - z_r$	$(x_{r\_anc1})^2$	$x_q * x_p$	$x_{r\_anc1} * x_{r\_anc1} * x_d$	$x_p - z_p$	$x_q + z_q$
11	$x_{r\_anc1} - z_r$	$(x_{r\_anc1})^2$	$x_q * x_p$	$x_{r\_anc1} * x_{r\_anc1} * x_d$	$x_p - z_p$	$x_q$
12	$x_{r\_anc1} - z_r$	$(x_{r\_anc1})^2$	$x_q * x_p$	$x_{r\_anc1} * x_{r\_anc1} * x_d$	$x_p$	$x_q$
13	$x_{r\_anc1} - z_r$	$(x_{r\_anc1})^2$	$x_q * x_p$	$x_{r\_anc1} * x_{r\_anc1} * x_d$	$x_p$	$x_q$

# Curve25519 양자회로 구현

- PointAdd function 양자회로 최적화 구현
- PointDbl은 모든 line에 대해 순서 변형이 어려움
- 따라서 회로 구성만을 통해 t1 사용을 제외함

## Algorithm 6 PointDbl function $\Rightarrow$ quantum circuit

1: $t_1 = xp + zp$	$\Rightarrow$	$xp \leftarrow F_p\_add(xp, zp)$
2: $t_2 = t_1 \times t_1$	$\Rightarrow$	$t_2 \leftarrow F_p\_sqr(t_1)$
3: $t_1 = xp - zp$	$\Rightarrow$	$xp \leftarrow F_p\_sub(zp, xp) \quad F_p\_sub(zp, xp)$
4: $zr = t_1 \times t_1$	$\Rightarrow$	$zr_{anc1} \leftarrow F_p\_mul(xp, zr_{anc1})$
5: $xr = t_2 \times zr$	$\Rightarrow$	$xr \leftarrow F_p\_mul(t_2, zr)$
6: $t_1 = t_2 - zr$	$\Rightarrow$	$t_2 \leftarrow F_p\_sub(zr, t_2)$
7: $t_2 = t_1 \times c$	$\Rightarrow$	$t_{2anc1} \leftarrow F_p\_mul(t_2, c)$
8: $zr = t_1 \times t_2$	$\Rightarrow$	$zr_{anc2} \leftarrow F_p\_mul(t_1, t_2)$

// Inverse operations  $xp \leftarrow F_p\_add(zp, xp)$

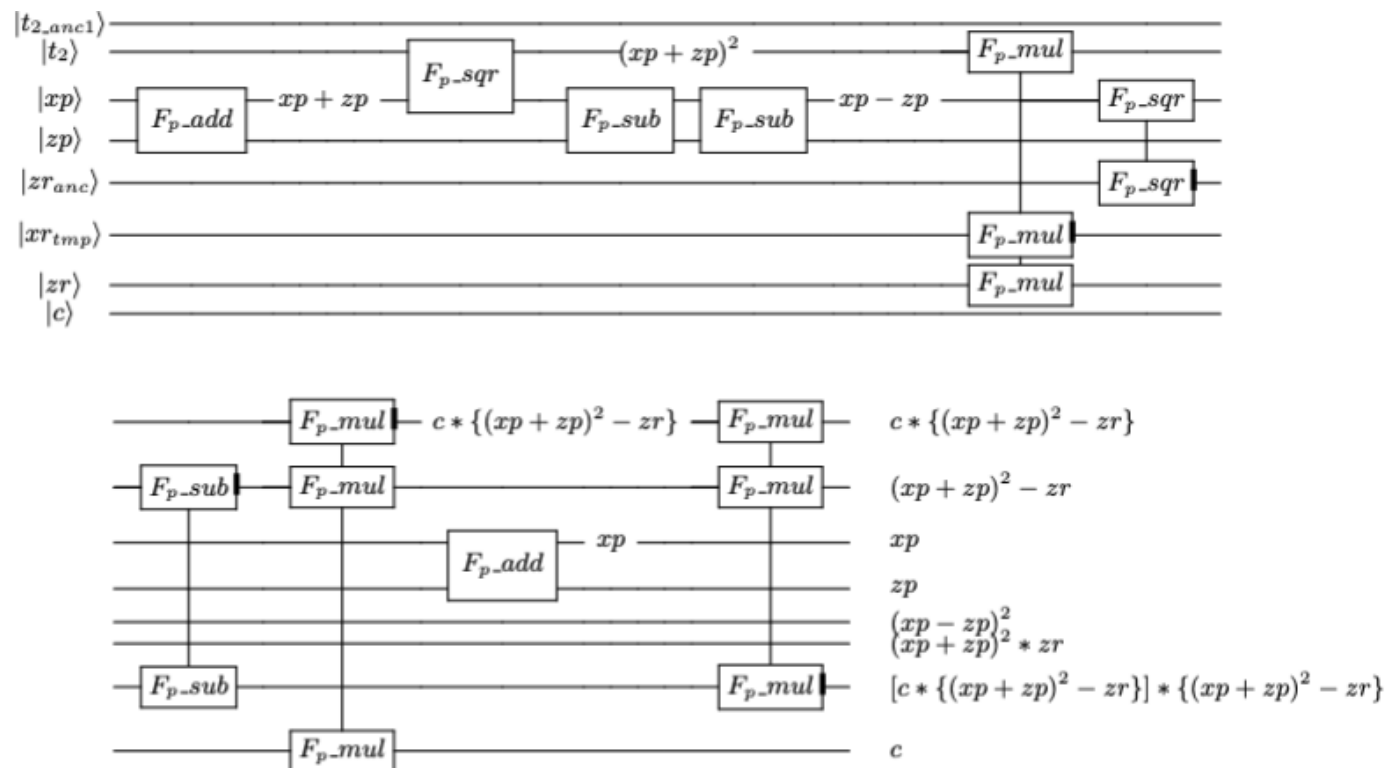


Fig. 3: Quantum circuit diagram of PointDbl. (The circuit is divided into two sections (connected from top to bottom))



# Curve25519 양자회로 구현

- line 1:  $x_p + z_p$ 의 결과는  $t_1$ 대신  $x_p$ 에 저장
- line 2: multiplication은 oput-of-place 연산이므로  $t_1 * t_1$  (즉,  $x_p * x_p$ ) 결과가  $t_2$ 에 저장
- line 3: 결과는  $x_p$ 에 저장, line 1에서 계산된  $x_p + z_p$ 는 line 2에서 사용되었으므로  $F_p\_sub$ 을 두 번 사용하여  $x_p - z_p$ 의 결과를 생성
- line 4, 5: out-of-place multiplication 연산 결과를  $zr\_anc1$ 와  $xr$ 에 각각 저장
- line 6:  $t_2 - zr$  결과를  $t_2$ 에 저장하며 line 7에서  $t_2, c$ 의 곱셈 결과를  $t2\_anc1$ 에 저장
- line 8:  $zr\_anc2$ 에  $t_1, t_2$ 의 곱셈을 저장
- line 9: 연산에서  $x_p - z_p$ 로 변경된  $x_p$ 에 대해 되돌리는  $F_p\_add$  연산 추가

---

**Algorithm 6** PointDbl function  $\Rightarrow$  quantum circuit

---

1: $t_1 = x_p + z_p$	$\Rightarrow$	$x_p \leftarrow F_p\_add(x_p, z_p)$
2: $t_2 = t_1 \times t_1$	$\Rightarrow$	$t_2 \leftarrow F_p\_sqr(t_1)$
3: $t_1 = x_p - z_p$	$\Rightarrow$	$x_p \leftarrow F_p\_sub(z_p, x_p) \quad F_p\_sub(z_p, x_p)$
4: $zr = t_1 \times t_1$	$\Rightarrow$	$zr\_anc1 \leftarrow F_p\_mul(x_p, zr\_anc1)$
5: $xr = t_2 \times zr$	$\Rightarrow$	$xr \leftarrow F_p\_mul(t_2, zr)$
6: $t_1 = t_2 - zr$	$\Rightarrow$	$t_2 \leftarrow F_p\_sub(zr, t_2)$
7: $t_2 = t_1 \times c$	$\Rightarrow$	$t2\_anc1 \leftarrow F_p\_mul(t_2, c)$
8: $zr = t_1 \times t_2$	$\Rightarrow$	$zr\_anc2 \leftarrow F_p\_mul(t_1, t_2)$

---

// Inverse operations  $x_p \leftarrow F_p\_add(z_p, x_p)$

---

PointDbl quantum circuit

# Curve25519 양자회로 구현 결과

Table 2: Quantum resources for PointDbl and PointAdd function

Function	Qubit	Quantum gates			
		CCCNOT	Toffoli	CNOT	X
PointDbl	12080 (-746)	56320	125092	18947	15
PointAdd	12604 (-1737)	81920	178902	23866	854

Table 3: Quantum resources for prime field  $\mathbb{Z}/(2^{255} - 19)$  operations

Function	Qubit	Quantum gates			
		CCCNOT	Toffoli	CNOT	X
$F_p\text{-add}$	780	5120	10762	1035	0
$F_p\text{-sub}$	781	5120	10762	1035	0
$F_p\text{-sqr, mul}$	3121	5120	12104	2702	3

Q & A